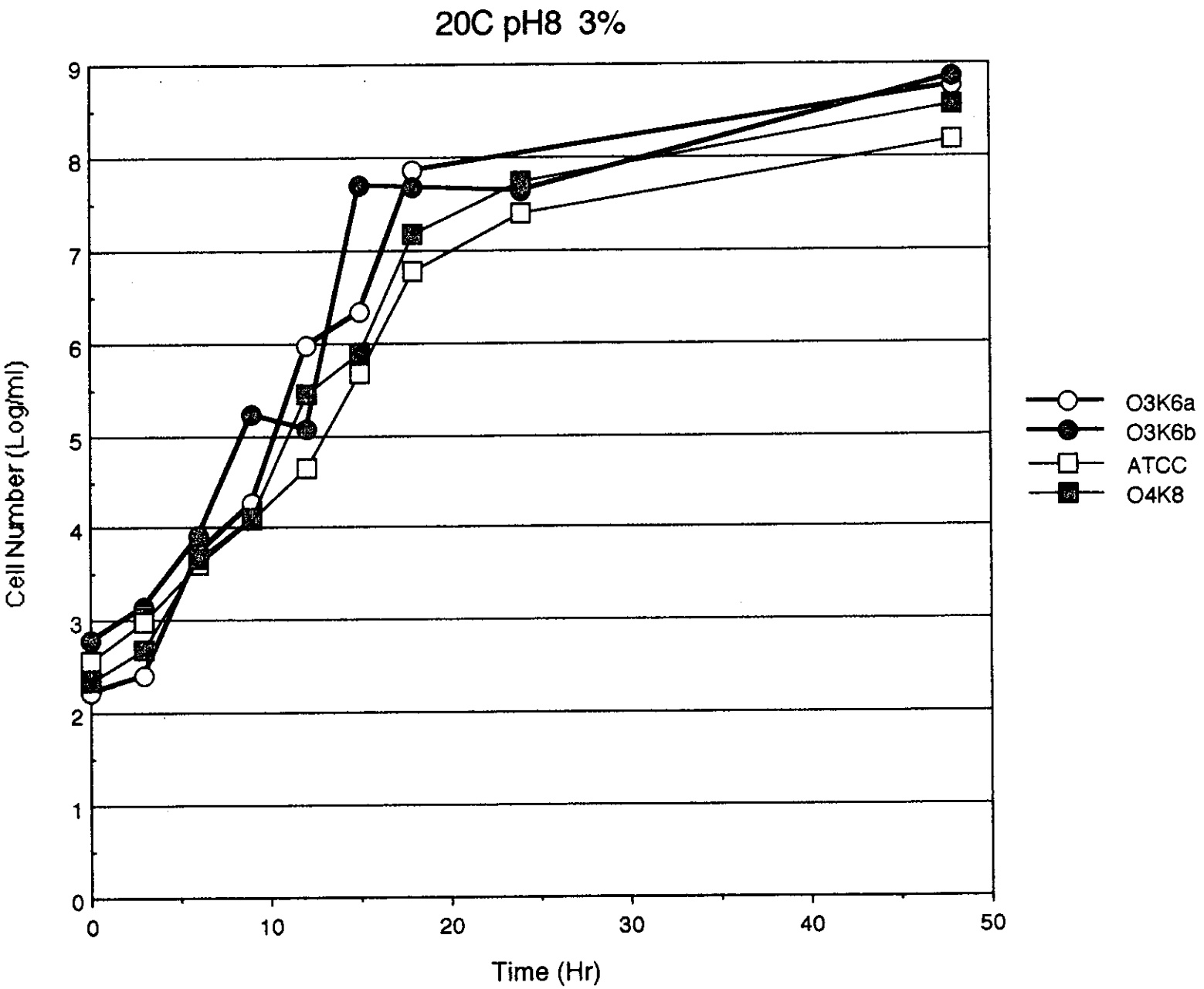
20C pH8 3%
Cell Number (Log/ml)
Time (Hr)
0
1
2
3
4
5
6
7
8
9
0
10
20
30
40
50
O3K6a
O3K6b
ATCC
O4K8

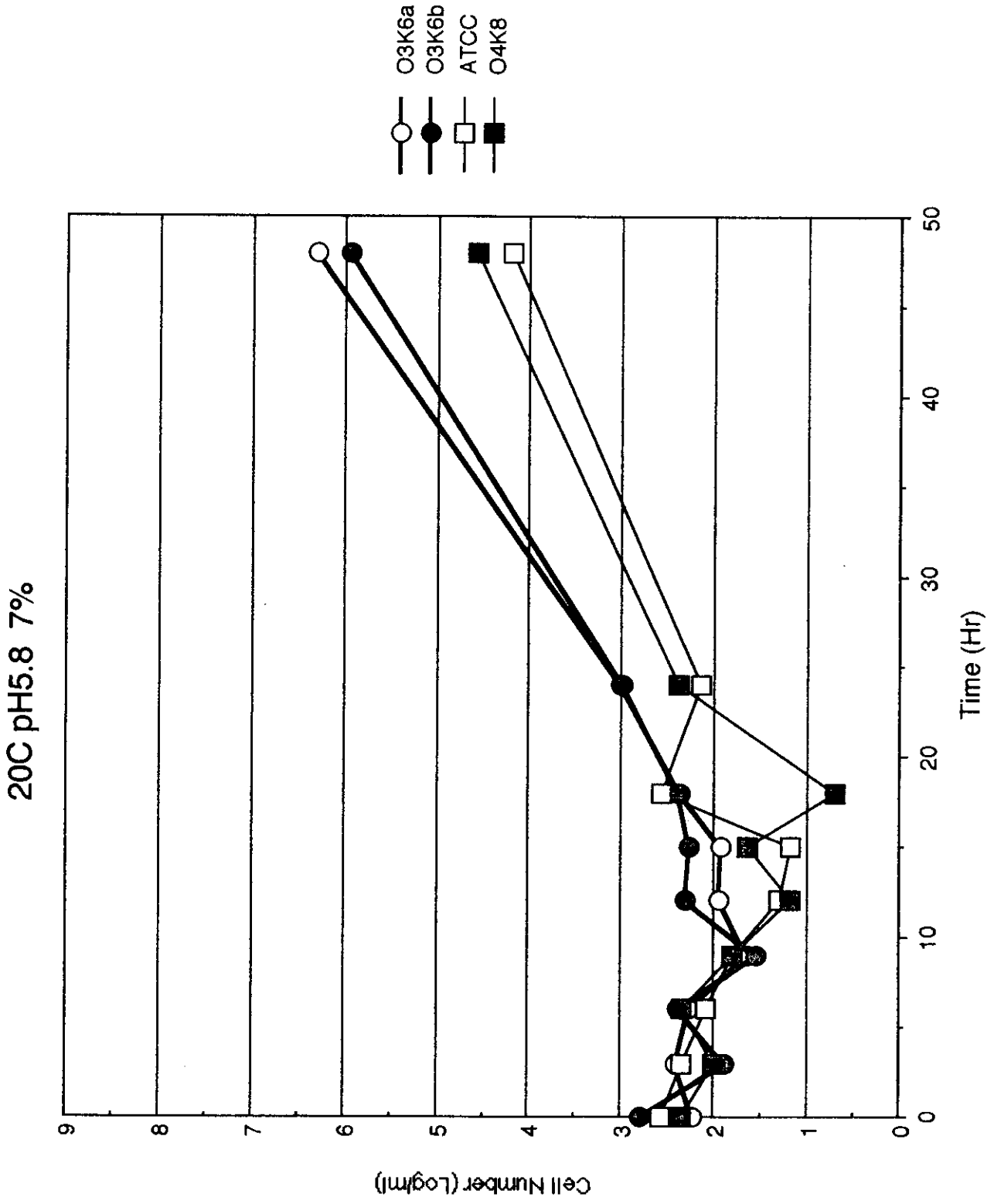
20C pH5.8 7%
O3K6a
O3K6b
ATCC
O4K8
Cell Number (Log/ml)
Time (Hr)
0
1
2
3
4
5
6
7
8
9
0
10
20
30
40
50

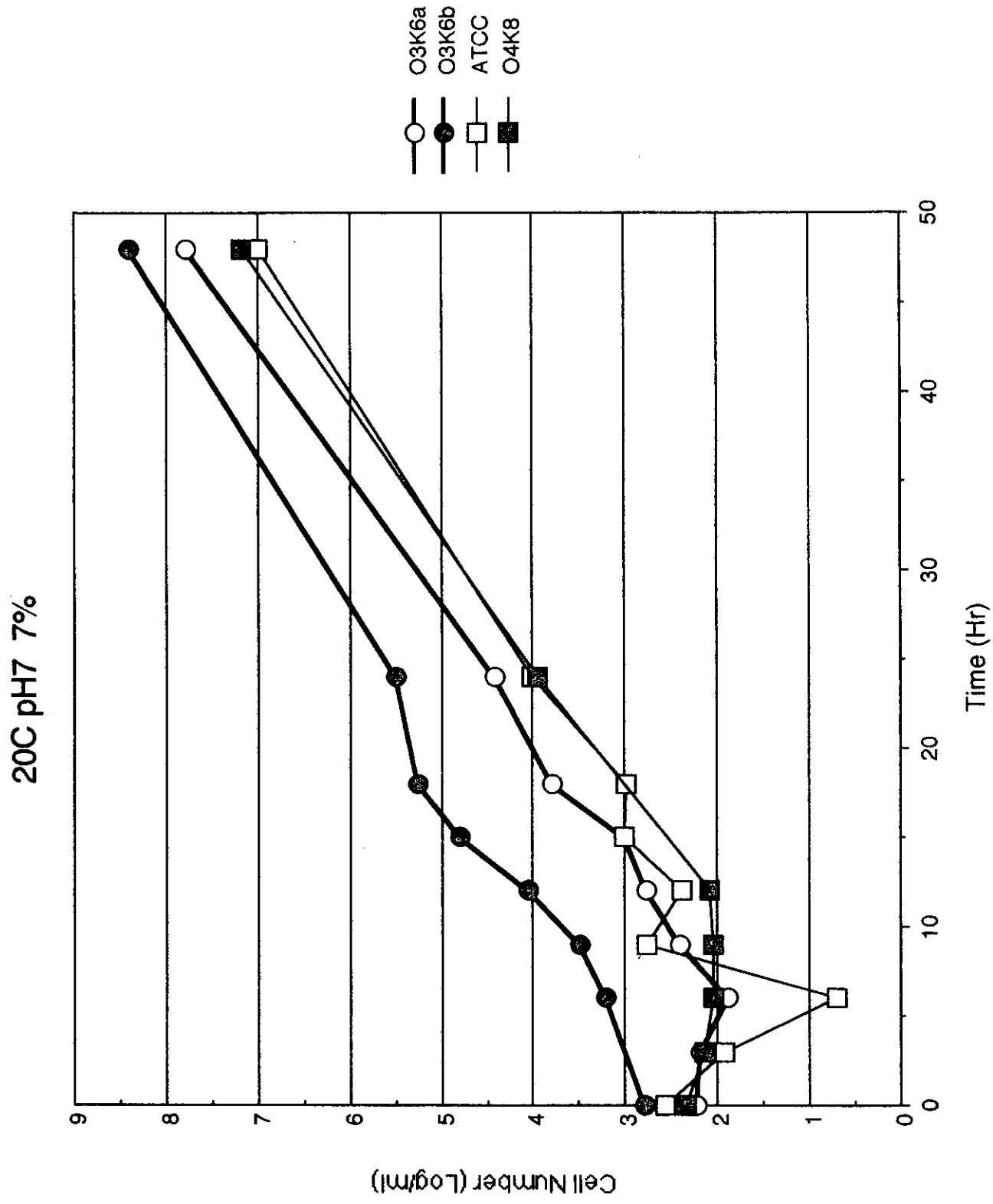
20C pH7 7%
O3K6a
O3K6b
ATCC
O4K8
Cell Number (Log/ml)
Time (Hr)
0
1
2
3
4
5
6
7
8
9
0
10
20
30
40
50

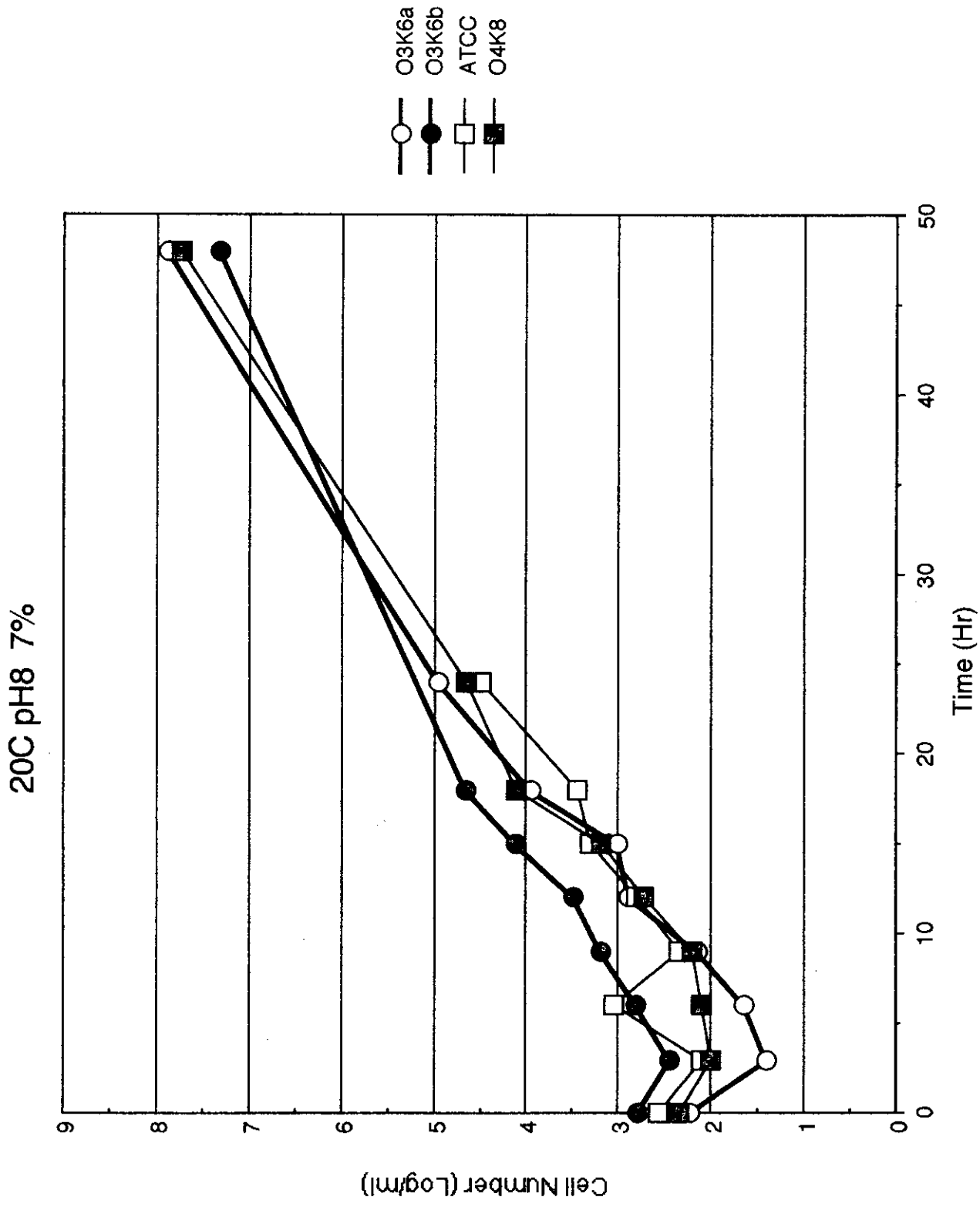
20C pH8 7%
O3K6a
O3K6b
ATCC
O4K8
Cell Number (Log/ml)
Time (Hr)
0
1
2
3
4
5
6
7
8
9
0
10
20
30
40
50

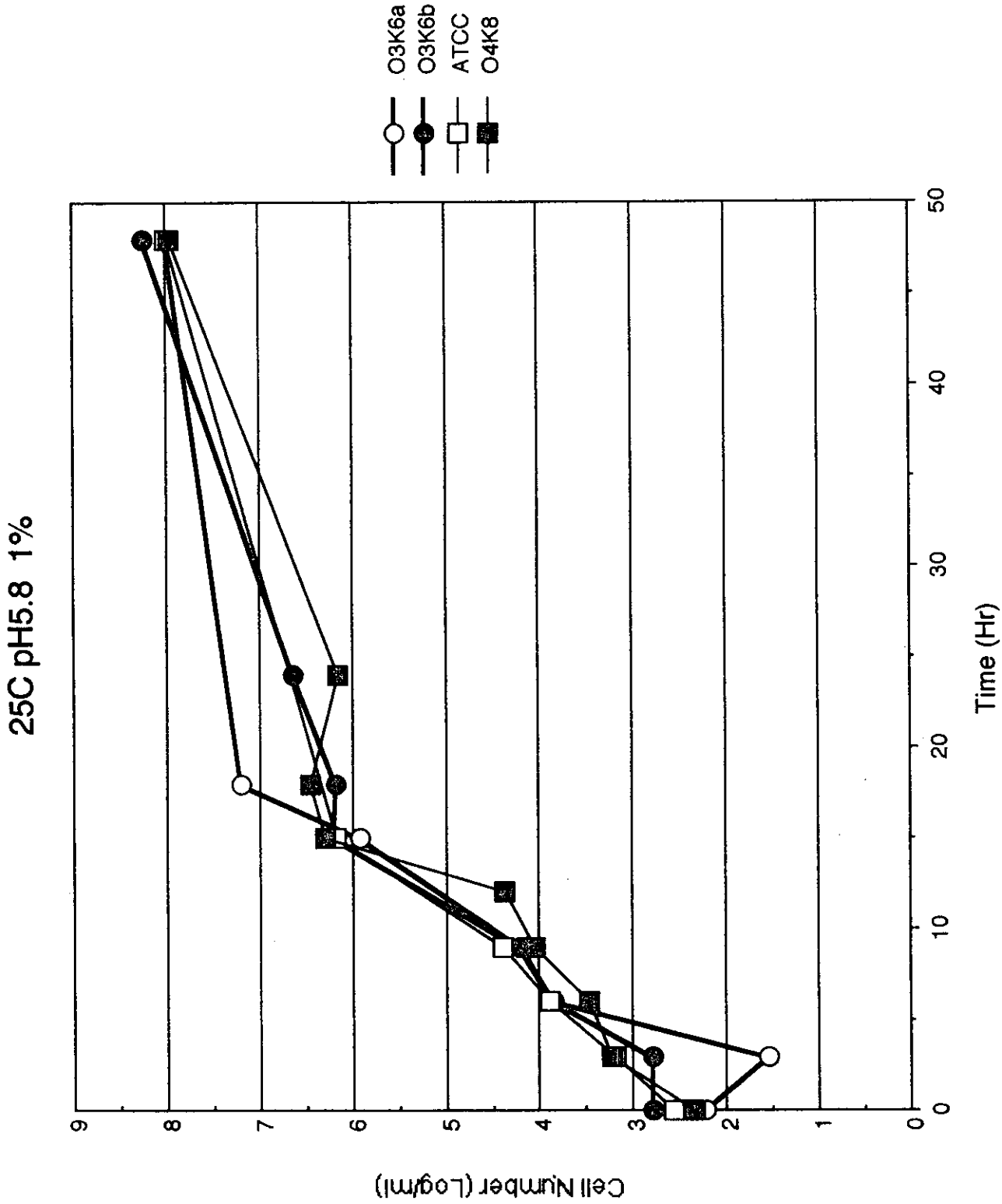
25C pH5.8 1%
O3K6a
O3K6b
ATCC
O4K8
Cell Number (Log/ml)
Time (Hr)
0
1
2
3
4
5
6
7
8
9
0
10
20
30
40
50

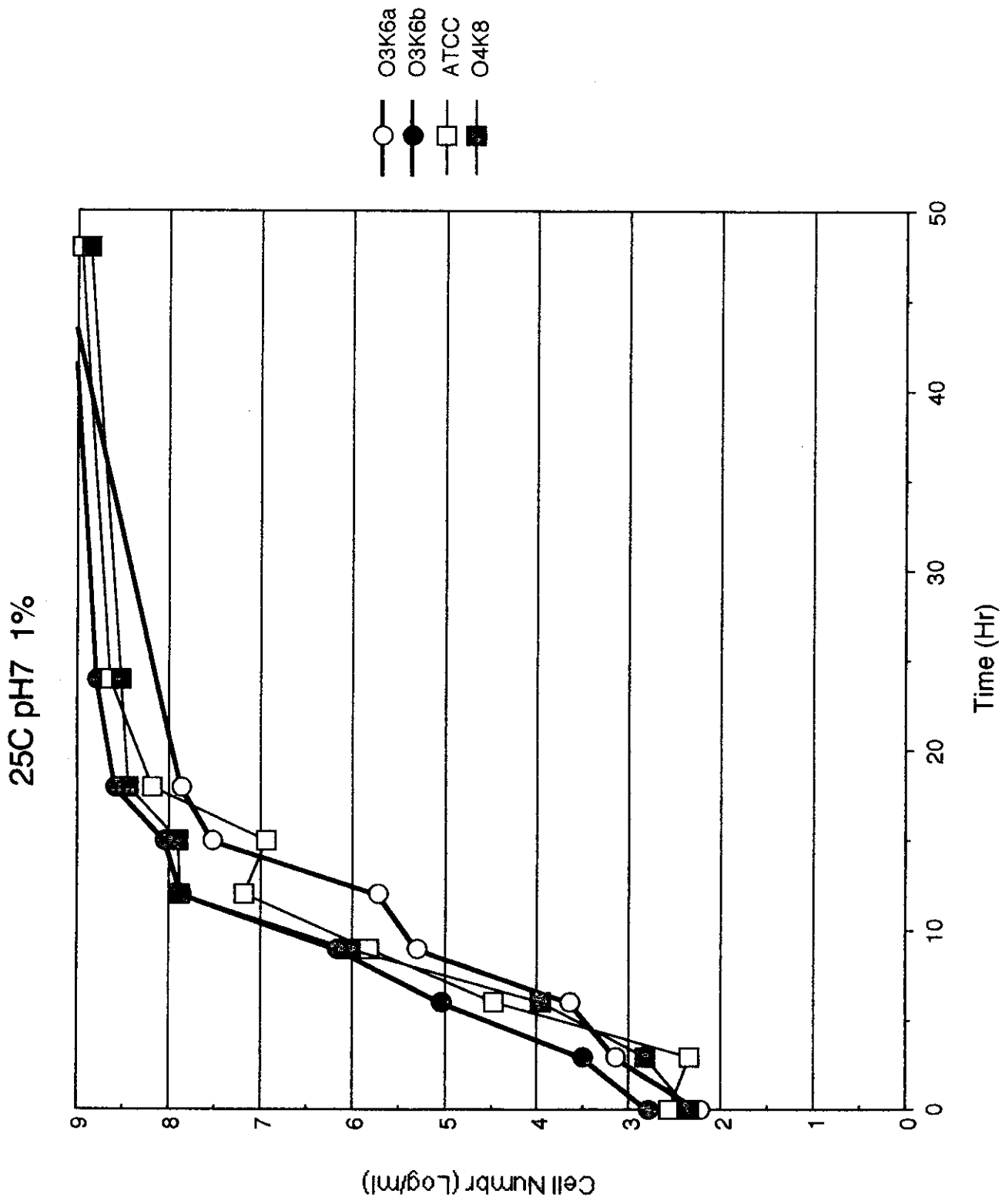
25C pH7 1%
O3K6a
O3K6b
ATCC
O4K8
Cell Number (Log/ml)
Time (Hr)
0
1
2
3
4
5
6
7
8
9
0
10
20
30
40
50

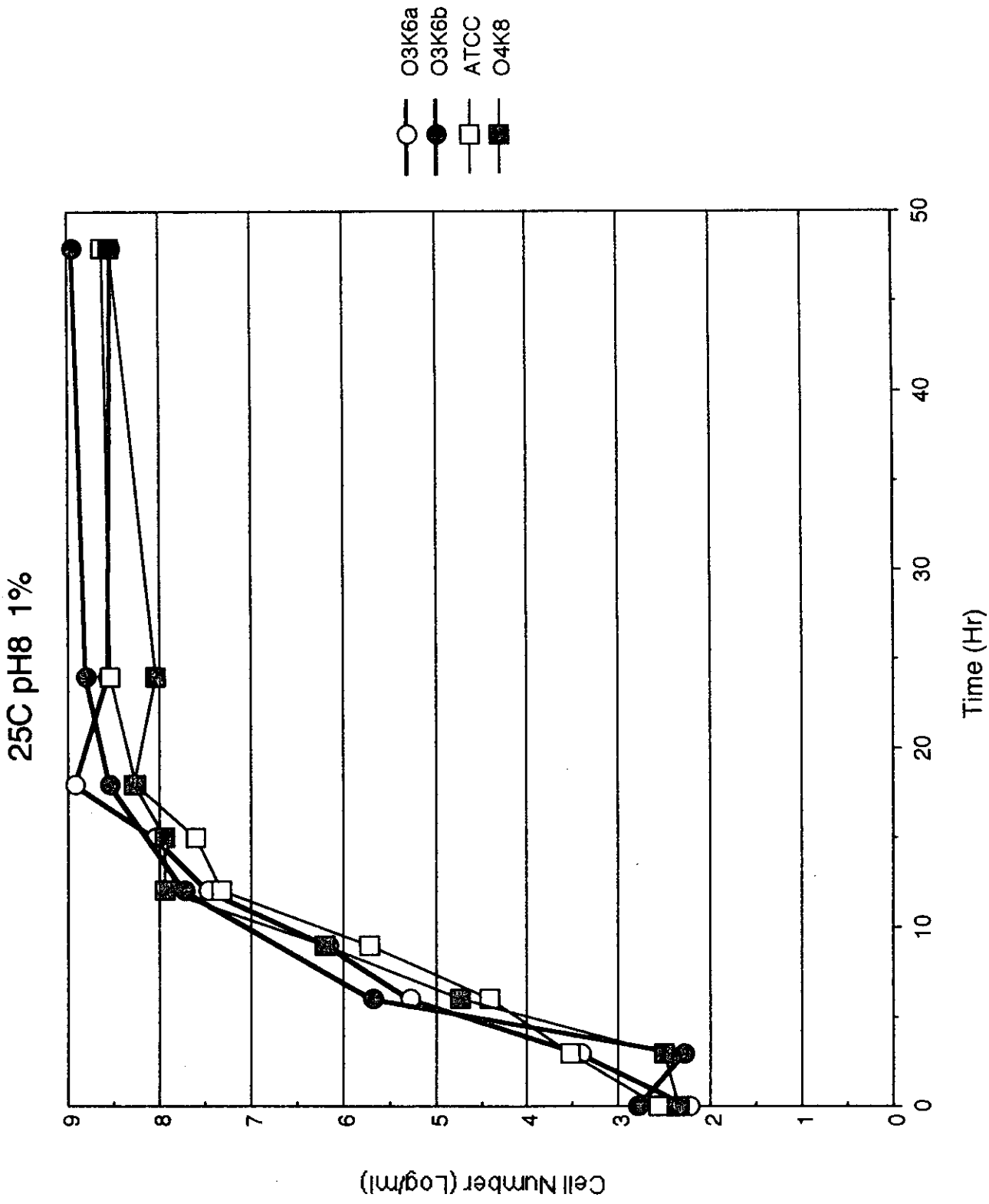
25C pH8 1%
O3K6a
O3K6b
ATCC
O4K8
Cell Number (Log/ml)
Time (Hr)
0
1
2
3
4
5
6
7
8
9
0
10
20
30
40
50

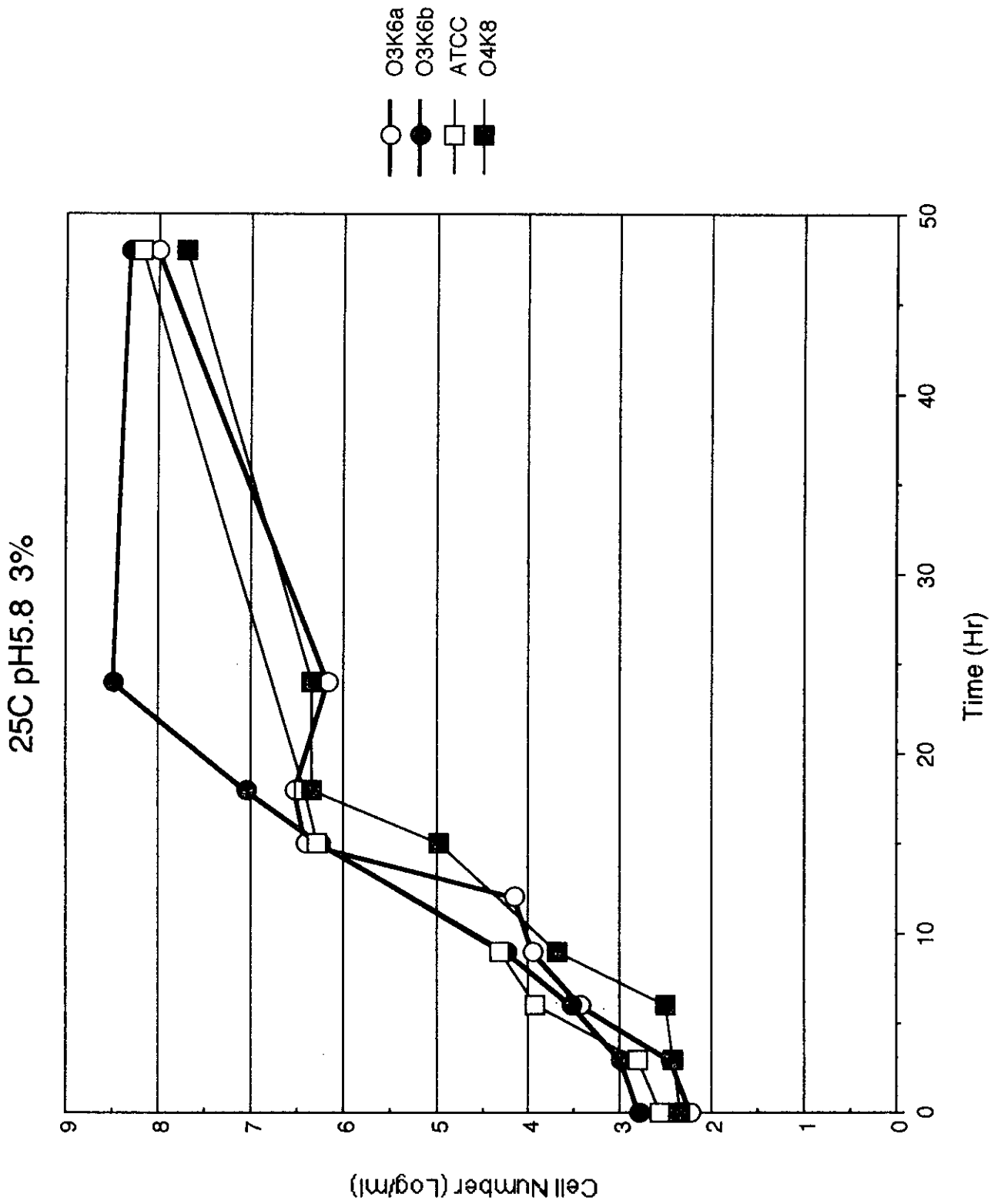
25C pH5.8 3%
O3K6a
O3K6b
ATCC
O4K8
Cell Number (Log/ml)
Time (Hr)
0
1
2
3
4
5
6
7
8
9
0
10
20
30
40
50

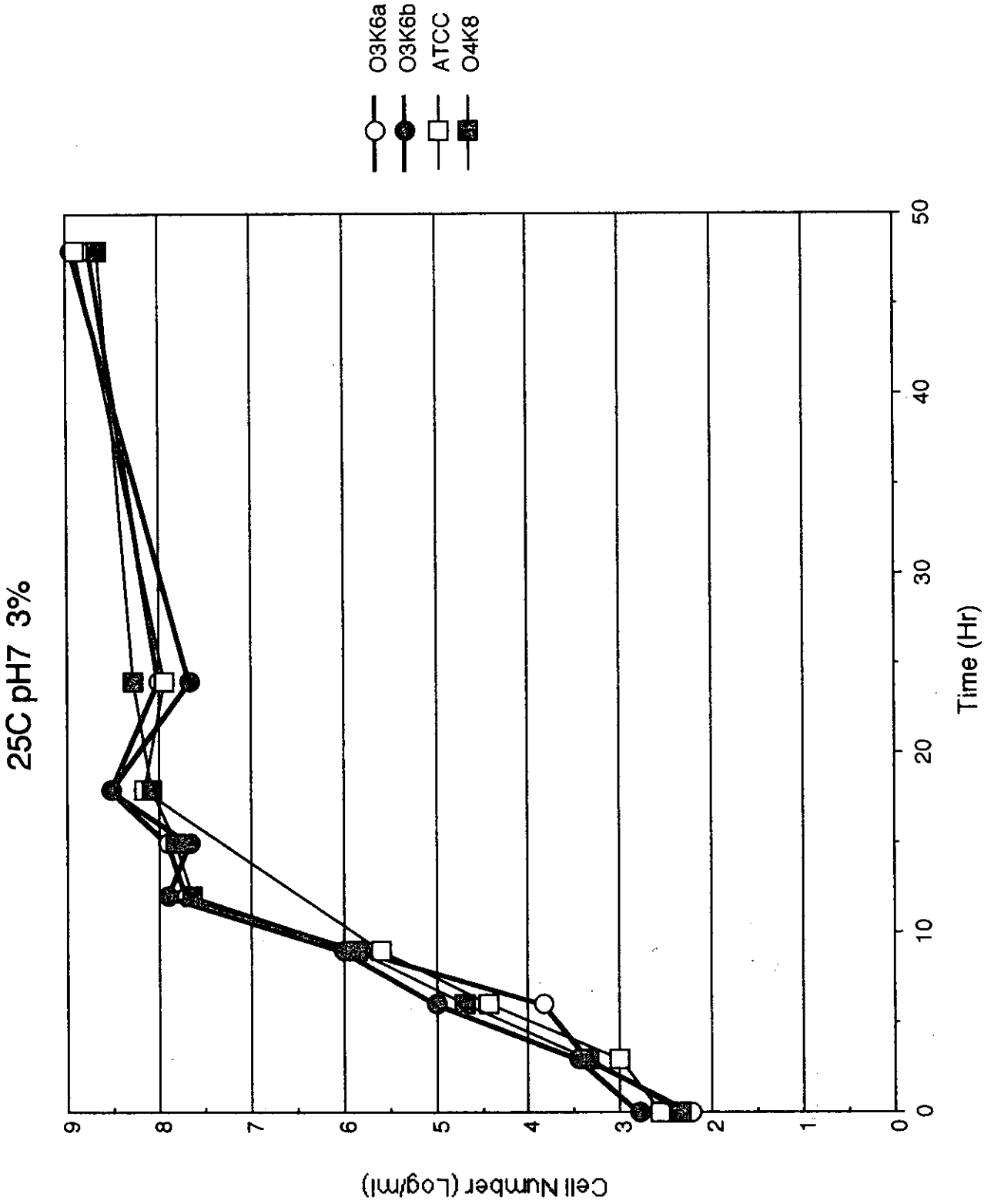
25C pH7 3%
O3K6a
O3K6b
ATCC
O4K8
Cell Number (Log/ml)
Time (Hr)
0
1
2
3
4
5
6
7
8
9
0
10
20
30
40
50

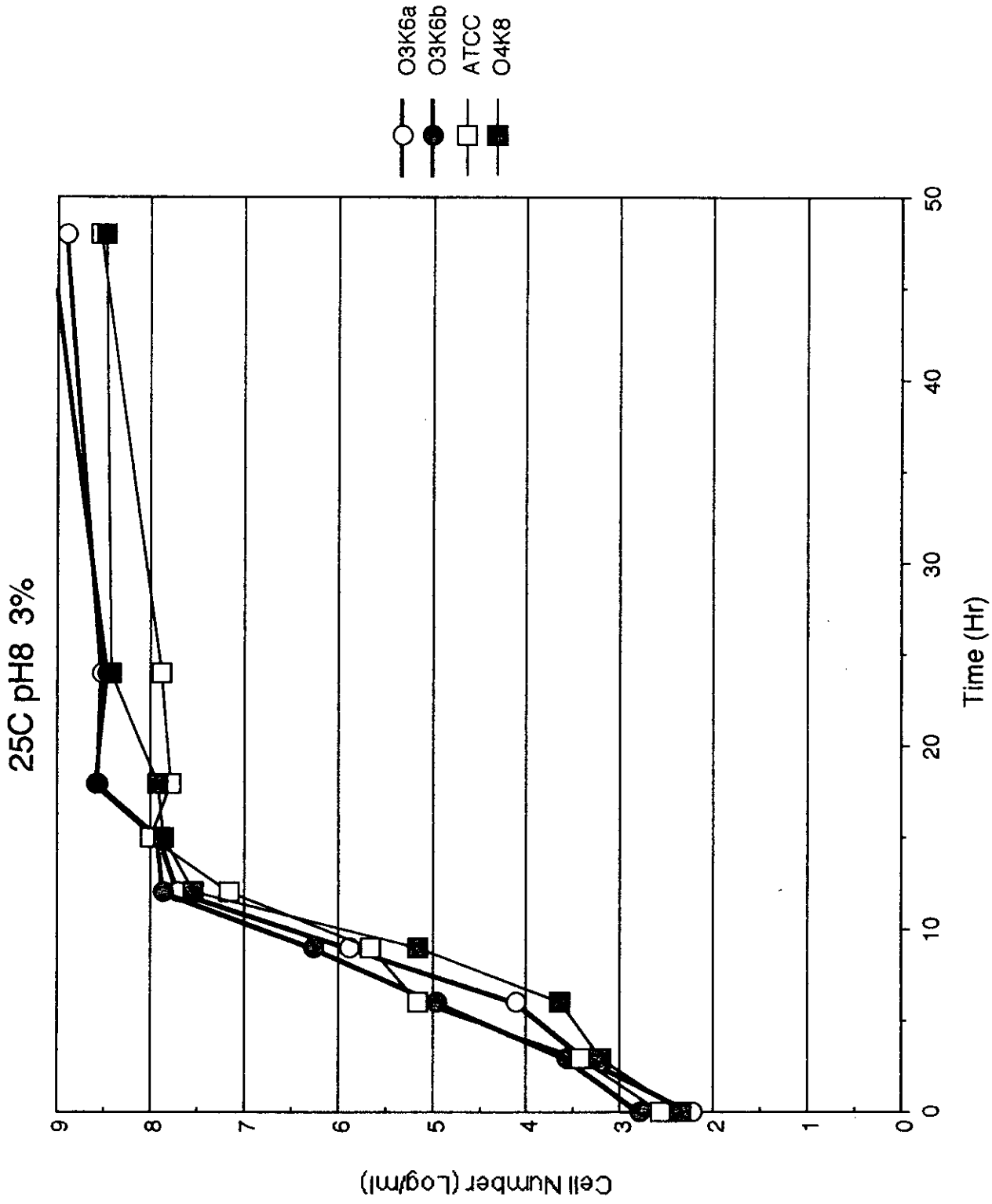
25C pH8 3%
O3K6a
O3K6b
ATCC
O4K8
Cell Number (Log/ml)
Time (Hr)
0
1
2
3
4
5
6
7
8
9
0
10
20
30
40
50

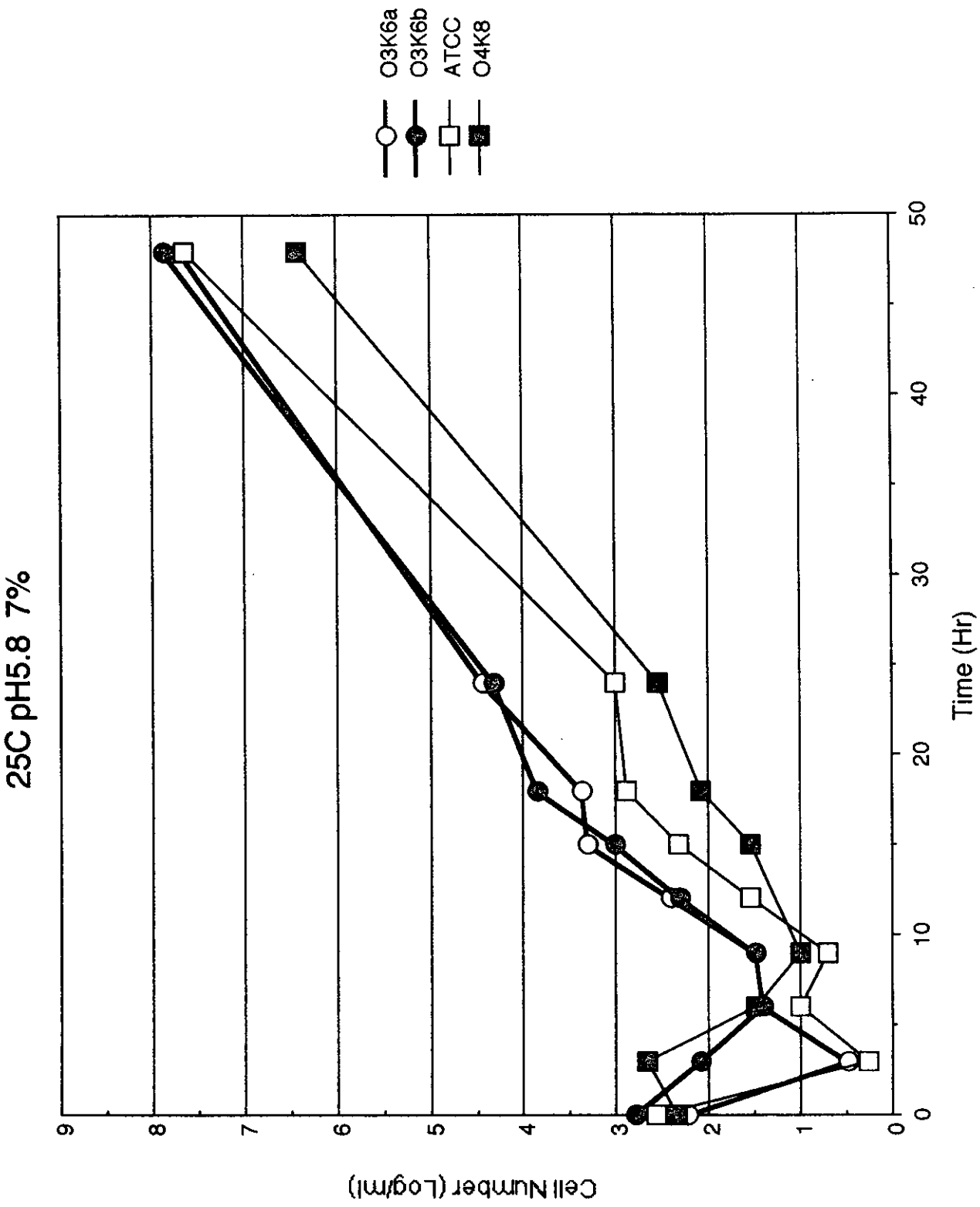
25C pH5.8 7%
O3K6a
O3K6b
ATCC
O4K8
Cell Number (Log/ml)
Time (Hr)
0
1
2
3
4
5
6
7
8
9
0
10
20
30
40
50

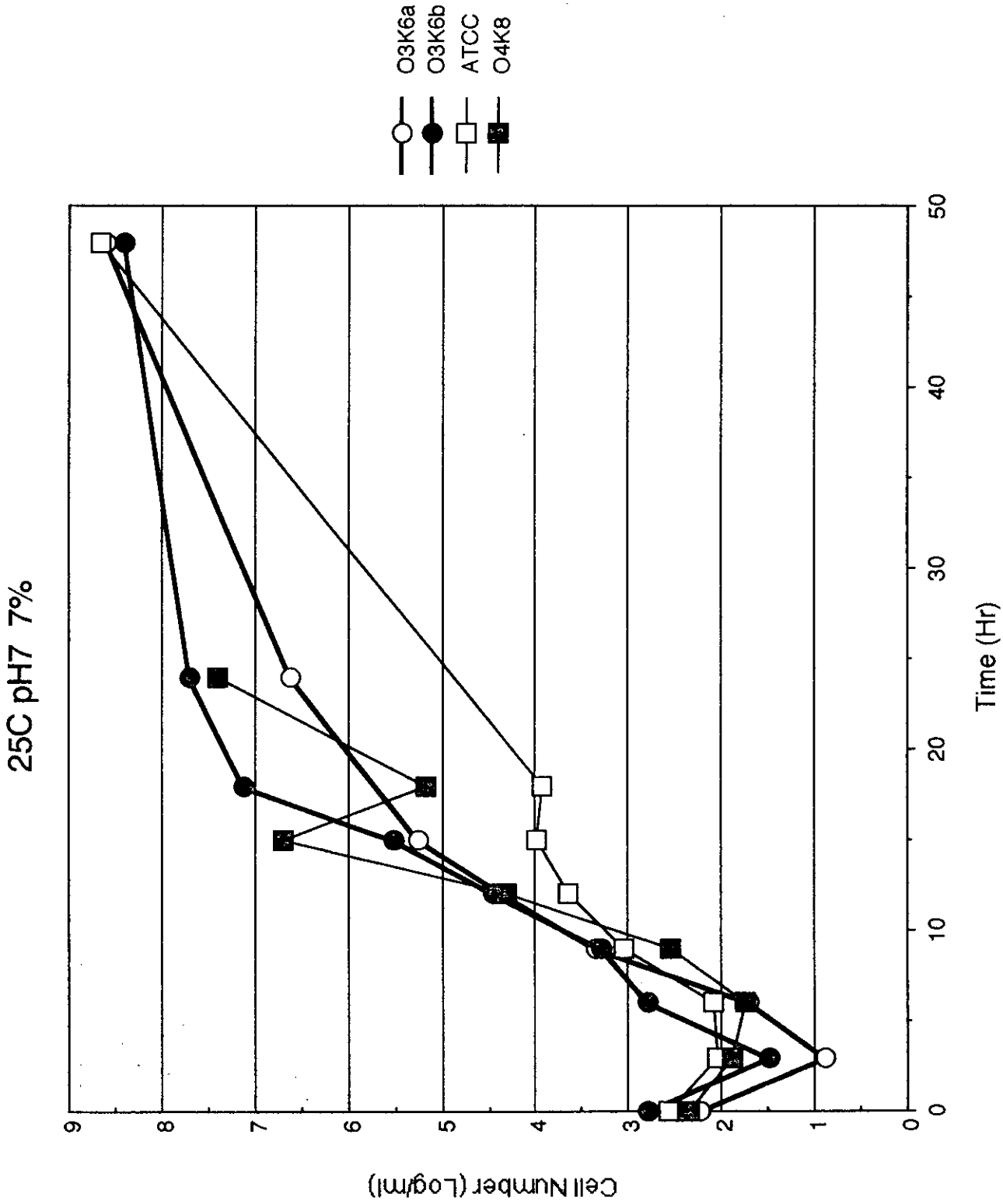
25C pH7 7%
O3K6a
O3K6b
ATCC
O4K8
Cell Number (Log/ml)
Time (Hr)
0
1
2
3
4
5
6
7
8
9
0
10
20
30
40
50

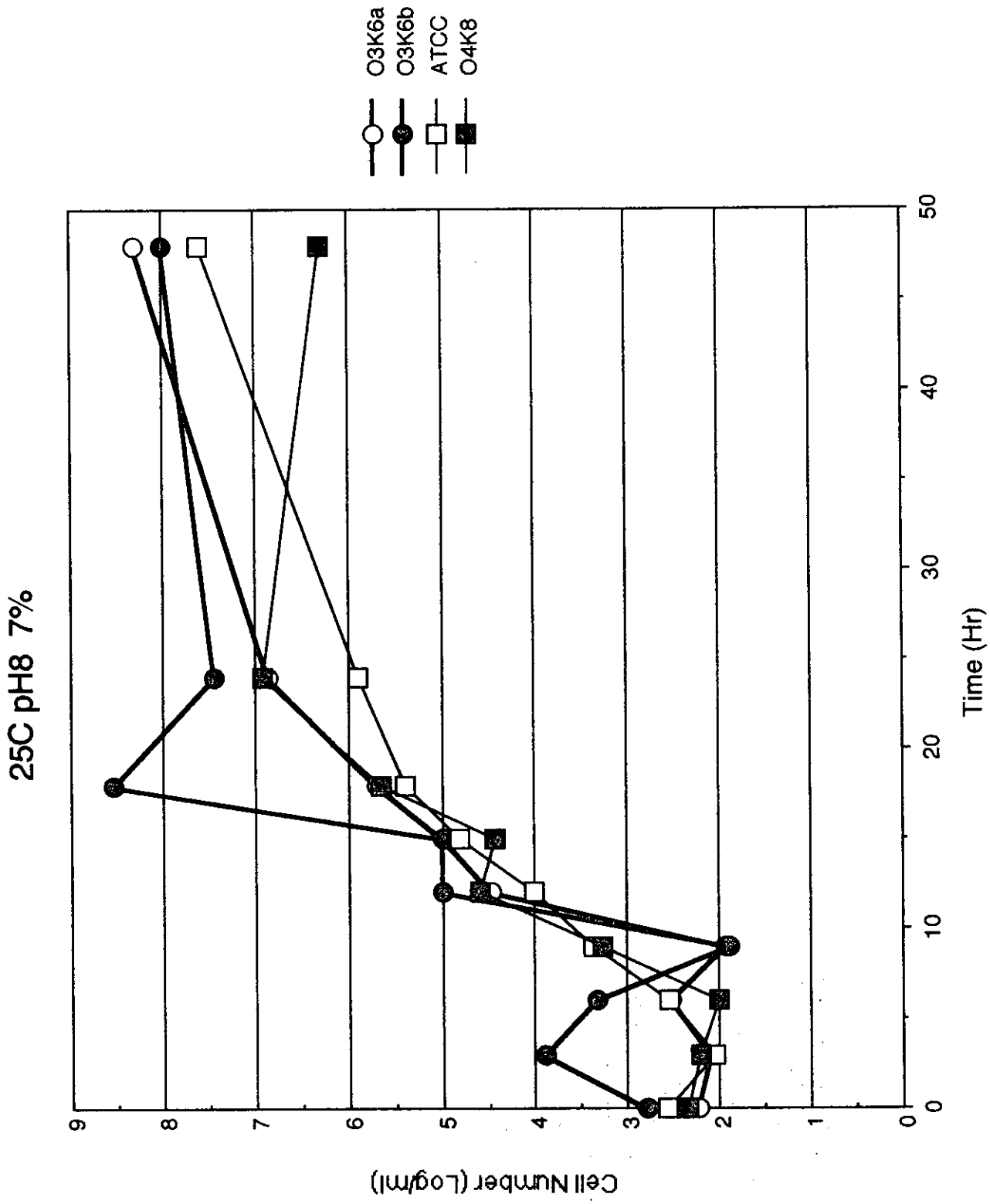
25C pH8 7%
O3K6a
O3K6b
ATCC
O4K8
Cell Number (Log/ml)
Time (Hr)
0
1
2
3
4
5
6
7
8
9
0
10
20
30
40
50

分散分析表 ： 列 1

	自由度	平方和	平均平方	F値	p値	ラムダ	検出力
列 2	1	1864.529	1864.529	1812.848	<.0001	1812.848	1.000
列 7	2	25.332	12.666	12.315	<.0001	24.629	.999
列 3	1	3.851	3.851	3.744	.0533	3.744	.474
列 4	2	145.172	72.586	70.574	<.0001	141.148	1.000
列 6	2	115.921	57.961	56.354	<.0001	112.708	1.000
列 2 * 列 7	2	28.342	14.171	13.778	<.0001	27.557	1.000
列 2 * 列 3	1	14.107	14.107	13.716	.0002	13.716	.975
列 2 * 列 4	2	37.136	18.568	18.053	<.0001	36.106	1.000
列 2 * 列 6	2	152.168	76.084	73.975	<.0001	147.950	1.000
列 7 * 列 3	2	1.888	.944	.918	.3998	1.836	.202
列 7 * 列 4	4	1.066	.266	.259	.9042	1.036	.107
列 7 * 列 6	4	28.517	7.129	6.932	<.0001	27.726	.997
列 3 * 列 4	2	1.208	.604	.587	.5561	1.174	.144
列 3 * 列 6	2	1.498	.749	.728	.4831	1.456	.168
列 4 * 列 6	4	30.352	7.588	7.378	<.0001	29.510	.999
列 2 * 列 7 * 列 3	2	1.458	.729	.709	.4925	1.418	.165
列 2 * 列 7 * 列 4	4	4.090	1.022	.994	.4099	3.976	.309
列 2 * 列 7 * 列 6	4	5.568	1.392	1.353	.2485	5.413	.415
列 2 * 列 3 * 列 4	2	.453	.227	.220	.8023	.441	.084
列 2 * 列 3 * 列 6	2	9.719	4.860	4.725	.0091	9.450	.797
列 2 * 列 4 * 列 6	4	43.319	10.830	10.530	<.0001	42.119	1.000
列 7 * 列 3 * 列 4	4	.873	.218	.212	.9317	.849	.096
列 7 * 列 3 * 列 6	4	1.288	.322	.313	.8693	1.252	.120
列 7 * 列 4 * 列 6	8	2.967	.371	.361	.9411	2.885	.173
列 3 * 列 4 * 列 6	4	2.154	.539	.524	.7184	2.095	.174
列 2 * 列 7 * 列 3 * 列 4	4	.804	.201	.195	.9408	.781	.092
列 2 * 列 7 * 列 3 * 列 6	4	.821	.205	.199	.9386	.798	.093
列 2 * 列 7 * 列 4 * 列 6	8	2.151	.269	.261	.9779	2.092	.134
列 2 * 列 3 * 列 4 * 列 6	4	1.943	.486	.472	.7560	1.890	.161
列 7 * 列 3 * 列 4 * 列 6	8	.933	.117	.113	.9988	.907	.082
列 2 * 列 7 * 列 3 * 列 4 * 列 6	8	1.356	.169	.165	.9953	1.318	.099
残差	783	805.322	1.029				

交互作用棒グラフ ： 列 1
効果： 列 4

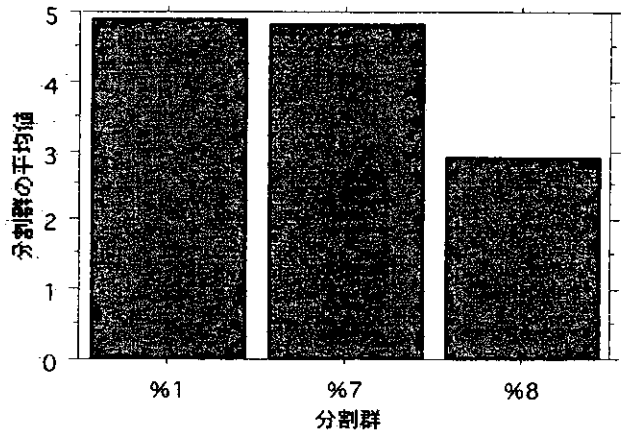

列6	5	4	3	7	2	1
15	O3-1	%1	O3	5.8	0	2.230
15	O3-1	%1	O3	7.0	0	2.230
15	O3-1	%1	O3	8.0	0	2.230
15	O3-1	%7	O3	5.8	0	2.230
15	O3-1	%7	O3	7.0	0	2.230
15	O3-1	%7	O3	8.0	0	2.230
15	O3-1	%8	O3	5.8	0	2.230
15	O3-1	%8	O3	7.0	0	2.230
15	O3-1	%8	O3	8.0	0	2.230
15	O3-2	%1	O3	5.8	0	2.790
15	O3-2	%1	O3	7.0	0	2.790
15	O3-2	%1	O3	8.0	0	2.790
15	O3-2	%7	O3	5.8	0	2.790
15	O3-2	%7	O3	7.0	0	2.790
15	O3-2	%7	O3	8.0	0	2.790
15	O3-2	%8	O3	5.8	0	2.790
15	O3-2	%8	O3	7.0	0	2.790
15	O3-2	%8	O3	8.0	0	2.790
15	ATCC	%1	non-O3	5.8	0	2.560
15	ATCC	%1	non-O3	7.0	0	2.560
15	ATCC	%1	non-O3	8.0	0	2.560
15	ATCC	%7	non-O3	5.8	0	2.560
15	ATCC	%7	non-O3	7.0	0	2.560
15	ATCC	%7	non-O3	8.0	0	2.560
15	ATCC	%8	non-O3	5.8	0	2.560
15	ATCC	%8	non-O3	7.0	0	2.560
15	ATCC	%8	non-O3	8.0	0	2.560
15	O4	%1	non-O3	5.8	0	2.340
15	O4	%1	non-O3	7.0	0	2.340
15	O4	%1	non-O3	8.0	0	2.340
15	O4	%7	non-O3	5.8	0	2.340
15	O4	%7	non-O3	7.0	0	2.340

15	O4	%7	non-O3	8.0	0	2.340
15	O4	%8	non-O3	5.8	0	2.340
15	O4	%8	non-O3	7.0	0	2.340
15	O4	%8	non-O3	8.0	0	2.340
15	O3-1	%1	O3	5.8	3	.
15	O3-1	%1	O3	7.0	3	.
15	O3-1	%1	O3	8.0	3	.
15	O3-1	%7	O3	5.8	3	.
15	O3-1	%7	O3	7.0	3	.
15	O3-1	%7	O3	8.0	3	.
15	O3-1	%8	O3	5.8	3	.
15	O3-1	%8	O3	7.0	3	.
15	O3-1	%8	O3	8.0	3	.
15	O3-2	%1	O3	5.8	3	.
15	O3-2	%1	O3	7.0	3	.
15	O3-2	%1	O3	8.0	3	.
15	O3-2	%7	O3	5.8	3	.
15	O3-2	%7	O3	7.0	3	.
15	O3-2	%7	O3	8.0	3	.
15	O3-2	%8	O3	5.8	3	.
15	O3-2	%8	O3	7.0	3	.
15	O3-2	%8	O3	8.0	3	.
15	ATCC	%1	non-O3	5.8	3	.
15	ATCC	%1	non-O3	7.0	3	.
15	ATCC	%1	non-O3	8.0	3	.
15	ATCC	%7	non-O3	5.8	3	.
15	ATCC	%7	non-O3	7.0	3	.
15	ATCC	%7	non-O3	8.0	3	.
15	ATCC	%8	non-O3	5.8	3	.
15	ATCC	%8	non-O3	7.0	3	.
15	ATCC	%8	non-O3	8.0	3	.
15	O4	%1	non-O3	5.8	3	.
15	O4	%1	non-O3	7.0	3	.

15	O4	%1	non-O3	8.0	3	.
15	O4	%7	non-O3	5.8	3	.
15	O4	%7	non-O3	7.0	3	.
15	O4	%7	non-O3	8.0	3	.
15	O4	%8	non-O3	5.8	3	.
15	O4	%8	non-O3	7.0	3	.
15	O4	%8	non-O3	8.0	3	.
15	O3-1	%1	O3	5.8	6	.
15	O3-1	%1	O3	7.0	6	.
15	O3-1	%1	O3	8.0	6	.
15	O3-1	%7	O3	5.8	6	.
15	O3-1	%7	O3	7.0	6	.
15	O3-1	%7	O3	8.0	6	.
15	O3-1	%8	O3	5.8	6	.
15	O3-1	%8	O3	7.0	6	.
15	O3-1	%8	O3	8.0	6	.
15	O3-2	%1	O3	5.8	6	.
15	O3-2	%1	O3	7.0	6	.
15	O3-2	%1	O3	8.0	6	.
15	O3-2	%7	O3	5.8	6	.
15	O3-2	%7	O3	7.0	6	.
15	O3-2	%7	O3	8.0	6	.
15	O3-2	%8	O3	5.8	6	.
15	O3-2	%8	O3	7.0	6	.
15	O3-2	%8	O3	8.0	6	.
15	ATCC	%1	non-O3	5.8	6	.
15	ATCC	%1	non-O3	7.0	6	.
15	ATCC	%1	non-O3	8.0	6	.
15	ATCC	%7	non-O3	5.8	6	.
15	ATCC	%7	non-O3	7.0	6	.
15	ATCC	%7	non-O3	8.0	6	.
15	ATCC	%8	non-O3	5.8	6	.
15	ATCC	%8	non-O3	7.0	6	.

15	ATCC	%8	non-O3	8.0	6	.
15	O4	%1	non-O3	5.8	6	.
15	O4	%1	non-O3	7.0	6	.
15	O4	%1	non-O3	8.0	6	.
15	O4	%7	non-O3	5.8	6	.
15	O4	%7	non-O3	7.0	6	.
15	O4	%7	non-O3	8.0	6	.
15	O4	%8	non-O3	5.8	6	.
15	O4	%8	non-O3	7.0	6	.
15	O4	%8	non-O3	8.0	6	.
15	O3-1	%1	O3	5.8	9	2.890
15	O3-1	%1	O3	7.0	9	3.000
15	O3-1	%1	O3	8.0	9	2.980
15	O3-1	%7	O3	5.8	9	2.750
15	O3-1	%7	O3	7.0	9	3.000
15	O3-1	%7	O3	8.0	9	3.000
15	O3-1	%8	O3	5.8	9	.810
15	O3-1	%8	O3	7.0	9	.810
15	O3-1	%8	O3	8.0	9	.650
15	O3-2	%1	O3	5.8	9	3.150
15	O3-2	%1	O3	7.0	9	3.040
15	O3-2	%1	O3	8.0	9	3.110
15	O3-2	%7	O3	5.8	9	2.920
15	O3-2	%7	O3	7.0	9	2.970
15	O3-2	%7	O3	8.0	9	4.650
15	O3-2	%8	O3	5.8	9	2.230
15	O3-2	%8	O3	7.0	9	2.320
15	O3-2	%8	O3	8.0	9	2.000
15	ATCC	%1	non-O3	5.8	9	2.790
15	ATCC	%1	non-O3	7.0	9	2.280
15	ATCC	%1	non-O3	8.0	9	2.360
15	ATCC	%7	non-O3	5.8	9	2.110
15	ATCC	%7	non-O3	7.0	9	2.260

15	ATCC	%7	non-O3	8.0	9	2.200
15	ATCC	%8	non-O3	5.8	9	1.650
15	ATCC	%8	non-O3	7.0	9	.560
15	ATCC	%8	non-O3	8.0	9	.260
15	O4	%1	non-O3	5.8	9	2.580
15	O4	%1	non-O3	7.0	9	2.700
15	O4	%1	non-O3	8.0	9	2.570
15	O4	%7	non-O3	5.8	9	2.480
15	O4	%7	non-O3	7.0	9	2.800
15	O4	%7	non-O3	8.0	9	2.650
15	O4	%8	non-O3	5.8	9	1.950
15	O4	%8	non-O3	7.0	9	1.740
15	O4	%8	non-O3	8.0	9	1.300
15	O3-1	%1	O3	5.8	12	2.940
15	O3-1	%1	O3	7.0	12	3.080
15	O3-1	%1	O3	8.0	12	3.150
15	O3-1	%7	O3	5.8	12	2.690
15	O3-1	%7	O3	7.0	12	3.260
15	O3-1	%7	O3	8.0	12	3.000
15	O3-1	%8	O3	5.8	12	.600
15	O3-1	%8	O3	7.0	12	.650
15	O3-1	%8	O3	8.0	12	.600
15	O3-2	%1	O3	5.8	12	3.230
15	O3-2	%1	O3	7.0	12	3.430
15	O3-2	%1	O3	8.0	12	3.610
15	O3-2	%7	O3	5.8	12	3.230
15	O3-2	%7	O3	7.0	12	3.320
15	O3-2	%7	O3	8.0	12	3.380
15	O3-2	%8	O3	5.8	12	2.260
15	O3-2	%8	O3	7.0	12	2.040
15	O3-2	%8	O3	8.0	12	2.080
15	ATCC	%1	non-O3	5.8	12	2.430
15	ATCC	%1	non-O3	7.0	12	2.490

15	ATCC	%1	non-O3	8.0	12	2.320
15	ATCC	%7	non-O3	5.8	12	2.040
15	ATCC	%7	non-O3	7.0	12	2.490
15	ATCC	%7	non-O3	8.0	12	2.420
15	ATCC	%8	non-O3	5.8	12	.260
15	ATCC	%8	non-O3	7.0	12	.700
15	ATCC	%8	non-O3	8.0	12	.260
15	O4	%1	non-O3	5.8	12	2.600
15	O4	%1	non-O3	7.0	12	2.910
15	O4	%1	non-O3	8.0	12	2.850
15	O4	%7	non-O3	5.8	12	2.340
15	O4	%7	non-O3	7.0	12	3.110
15	O4	%7	non-O3	8.0	12	3.080
15	O4	%8	non-O3	5.8	12	1.650
15	O4	%8	non-O3	7.0	12	1.810
15	O4	%8	non-O3	8.0	12	1.300
15	O3-1	%1	O3	5.8	15	3.430
15	O3-1	%1	O3	7.0	15	3.760
15	O3-1	%1	O3	8.0	15	3.720
15	O3-1	%7	O3	5.8	15	3.000
15	O3-1	%7	O3	7.0	15	3.480
15	O3-1	%7	O3	8.0	15	3.540
15	O3-1	%8	O3	5.8	15	.480
15	O3-1	%8	O3	7.0	15	.850
15	O3-1	%8	O3	8.0	15	.650
15	O3-2	%1	O3	5.8	15	3.630
15	O3-2	%1	O3	7.0	15	3.840
15	O3-2	%1	O3	8.0	15	3.960
15	O3-2	%7	O3	5.8	15	3.490
15	O3-2	%7	O3	7.0	15	3.610
15	O3-2	%7	O3	8.0	15	3.760
15	O3-2	%8	O3	5.8	15	2.360
15	O3-2	%8	O3	7.0	15	2.000